氯沙坦对自发性高血压大鼠血管组织激肽释放酶表达的影响

杨小虎 1 , 吕莎 1 , 彭应枝 1 , 余杨 1 , 岳影星 2 , 张勇 3 (1.浙江医院药剂科, 杭州 310030; 2.浙江省老年医学重点实验室和老年医学研究所, 杭州 310013; 3.湖北医药学院药学院, 湖北 十堰 442000)

摘要:目的 探讨氯沙坦对自发性高血压大鼠(spontaneously hypertensive rats, SHR)血管组织激肽释放酶(Kallikrein)表达的影响。方法 16 只了 SHR 大鼠随机分为高血压模型组和氯沙坦组,8 只了 Wistar-Kyoto 大鼠为正常血压组。无创血压测量仪测量各组收缩压变化;ELISA 试剂盒检测血清中 Kallikrein、一氧化氮(NO)及前列环素(PGI₂)含量变化;HE 染色观察药物对主动脉病理学改变;实时定量 qRT-PCR 检测主动脉组织间 Kallikrein 基因表达变化;Western blotting 检测主动脉组织中 Kallikrein 蛋白表达变化。结果 SHR 大鼠连续给药 4 周后,氯沙坦组收缩压呈时间依赖性下降;大鼠血清中 Kallikrein、NO 及 PGI₂分别上升了 54.1%, 49.5%, 49.2%; 组织病理学显示,氯沙坦组血管重构现象明显低于模型组;qRT-PCR 显示,氯沙坦组的 Kallikrein 表达量上调了 66.7%; Western blotting 显示氯沙坦组 Kallikrein 蛋白表达与基因表达一致,呈正相关。结论 氯沙坦降低 SHR 大鼠收缩压及改善血管重构的作用可能与上调 Kallikrein 表达相关。

关键词: 氯沙坦; 高血压; 血管重构; 激肽释放酶

中图分类号: R965.1 文献标志码: A 文章编号: 1007-7693(2020)18-2206-05

DOI: 10.13748/j.cnki.issn1007-7693.2020.18.006

引用本文:杨小虎,吕莎,彭应枝,等. 氯沙坦对自发性高血压大鼠血管组织激肽释放酶表达的影响[J]. 中国现代应用药学,2020,37(18):2206-2210.

Effect of Losartan on Kallikrein Expression in Spontaneously Hypertensive Rat Aorta

YANG Xiaohu¹, LYU Sha¹, PENG Yingzhi¹, YU Yang¹, YUE Yingxing², ZHANG Yong³(1.Department of Pharmacy, Zhejiang Hospital, Hangzhou 310030, China; 2.Zhejiang Provincial Key Laboratory of Geriatrics & Geriatrics Institute, Hangzhou 310013, China; 3.College of Pharmacy, Hubei University of Medicine, Shiyan 442000, China)

ABSTRACT: OBJECTIVE To investigate the effect of losartan on Kallikrein expression in spontaneously hypertensive rats(SHR). METHODS Sixteen ♂ SHR rats were randomly divided into hypertension model group and losartan group, while eight ♂ normotensive Wistar-Kyoto rats was normal blood pressure group. Non-invasive blood pressure measuring instrument monitored systolic blood pressure(SBP) of each group rats in every week. The serum levels of total Kallikrein, NO and PGI₂ were measured. Aorta change was evaluated with histopathologic examination by HE staining. qRT-PCR tested the gene expression change of Kallikrein. And the expression of Kallikrein in aortic tissue was measured by Western blotting. RESULTS After 4 weeks of continuous administration in SHR rats, the SBP of the losartan group decreased in a time-dependent manner. The serum levels of Kallikrein, NO and PGI₂ in rats increased by 54.1%, 49.5%, and 49.2%, respectively. Histopathology showed that the vascular remodeling phenomenon in the losartan group was significantly lower than that in the model group. qRT-PCR showed that the expression of Kallikrein in the losartan group was up-regulated by 66.7%. Western blotting showed that Kallikrein protein expression and gene expression in the losartan group were consistent and positively correlated. CONCLUSION Losartan decreasing SBP and improving vascular remodeling from SHR rats may be related to up-regulation of Kallikrein expression.

KEYWORDS: losartan; hypertension; vascular remodeling; Kallikrein

激肽释放酶-激肽系统(Kallikrein-kinin system, KKS)的过度激活在高血压并发症血管重构的发生发展中发挥着重要作用。近年来,研究发现Kallikrein 能够高效激活激肽的生成,促进前列环素(prostaglandin I₂, PGI₂)及一氧化氮(NO)的生物合成,而这 2 种物质是重要的血管功能调节剂,能够降低血压、舒张血管,具有改善血管重构等作

用^[1-3]。因此,Kallikrein 在 KKS 系统中发挥着中枢性的调节作用。国外学者发现 Kallikrein 基因敲除的小鼠出现血压升高,血管功能紊乱以及血管重构现象^[4]。目前,对于高血压等心血管疾病的临床和基础研究均显示 Kallikrein 发挥着强大的血管保护功能。此外,研究证实,自发性高血压大鼠(spontaneously hypertensive rats, SHR)动脉管腔狭

基金项目: 浙江医院院级课题项目(2015YJ038)

作者简介: 杨小虎, 男, 硕士, 主管药师 Tel: (0571)87377739

E-mail: xtigeryang@yeah.net

窄较正常血压大鼠(Wistar- Kyoto, WKY)增加,血管中膜增厚^[5]。然而,在自发性高血压模型中,AT-1受体阻断剂氯沙坦对血管 Kallikrein 表达影响的研究,国内外报道较少。因此,本研究将观察氯沙坦对 SHR 血管组织 Kallikrein 表达的影响,探究其改善血管重构的机制。

1 材料与方法

1.1 药品和动物

氯沙坦钾片(默沙东制药有限公司,批号: R002544; 规格: 50 mg)。♂ SPF 级 SHR 16 只及 WKY 大鼠(WKY)8 只,体质量(220±20)g,上海西普尔-必凯实验动物有限公司提供,动物许可证号: SCXK(沪)2013-0016。

1.2 仪器和试剂

无创血压测量仪(Kent Scientific Corporation, CT, USA); 全自动生化分析仪(日本日立 7020); 3K15 台式高速冷冻离心机(Sigma 公司); Ti-U 倒 置荧光显微镜(日本尼康); Image J Software(美国 NIH); NANO Drop 2 000/2 000c 微量紫外分光光度 计(Thermo 公司); real time RT-PCR 仪器(Biometra 公司)。TRIzol 试剂盒(Invitrogen Life Technologies 公司, 批号: 15696-129); RT-PCR 发转录试剂盒 (Roche 公司, 批号: 0489703-0001); BCA 蛋白浓 度测定试剂盒(批号: PC00200)、ECL 化学发光法 检测试剂盒(批号:YT061)均购自 Solarbio 公司; SDS-PAGE 凝胶配制试剂盒(上海碧云天生物技术 有限公司, 批号: P0012A); 鼠抗人 Kallikrein 单 克隆抗体(Abcam 公司, 货号: H00003816-M02); Kallikrein(批号: RJ15820), PGI₂(货号: GOY-S1069) 试剂盒购自上海仁捷生物科技有限公司; NO Griess Reagent Kit 试剂盒 (Invitrogen Life Technologies 公司, 批号: 1761297)。

1.3 动物分组及给药

所有大鼠适应性饲养 1 周后, SHR 大鼠随机 分成 2 组:高血压模型组、氯沙坦组, WKY 大鼠 为正常血压组,每组 8 只。待每组血压测定后,每天正常饮食和给水外,正常血压组及高血压模型组给予同氯沙坦组等体积量生理盐水,氯沙坦钾片用生理盐水溶解配成浓度为 8 mg·kg⁻¹(相当于人临床等效量)的混悬液,每周根据各组大鼠体质量调整给药剂量,给药 4 周。

1.4 血压测量

所有大鼠给药前, 使其适应测量血压时的环

境,利用无创血压测量仪测量大鼠尾根部血压(严格按照监测方法进行^[6])并记录平均压。各组开始给药后,每周测量 1 次血压,连续监测 4 周,血压监测时间为上午 09:30–11:30。每只大鼠血压测量 6 次,取其平均值。

1.5 血清 Kallikrein、NO 及 PGI₂ 含量的测定

末次给药后禁食 12 h, 戊巴比妥钠麻醉后腹 主动脉取血 5 mL, 以 3 000 $r \cdot min^{-1}$ 离心 10 min,分离血清备用,按照试剂盒说明书步骤测定血清中 Kallikrein、NO 及 PGI_2 含量。

1.6 血管组织病理形态学检查

腹主动脉取血后,放血处死大鼠,迅速解剖取出胸主动脉,剪取中间 1/3 段血管组织,置于4%甲醛溶液中固定,石蜡包埋,切片5μm。切片常规脱蜡至水,苏木精染色5min,1%盐酸分化,伊红染色2min,常规梯度乙醇脱水,二甲苯透明,中性树胶封片^[6-7]。光镜下观察各组大鼠血管病理形态学变化。

1.7 血管组织中 Kallikrein 基因表达

剪取一小部分大鼠胸主动脉置于无 RNA 酶的 冻存管中,液氮速冻后于-80 ℃冰箱冻存。按照 Trizol 试剂盒操作方法提取大鼠胸主动脉组织中总 RNA。cDNA 扩增: PCR 反应程序为 95 ℃预变性 3 min; 进行 49 次循环扩增反应(95 ℃变性,30 s; 退火温度视引物而定(50~60 ℃),40 s; 72 ℃延伸; 40 s); 然后 72 ℃恒温 5 min。Kallikrein,上游引物: 5' ATGCAGTGAGCCCCATAACC 3',下游引物: 5' CAGAGTTTGCCGTCCCTCAT 3'。使用 1%琼脂糖把扩增的 DNA 凝胶进行电泳,紫外灯下观察目的条带,凝胶成像分析系统成像后进行灰度扫描,以 β-actin 做内参,计算各基因表达的相对量。

1.8 主动脉组织中 Kallikrein 蛋白表达

剪取一小部分大鼠胸主动脉血管进行溶解,使用细胞裂解液进行溶解,离心 10 min,取上清,BCA 蛋白浓度测定试剂盒测定血管组织蛋白浓度。等量蛋白上样进行 SDS-PAGE 电泳,硝酸纤维素滤膜电转移,5%脱脂牛奶封闭 1 h;按照一抗说明书稀释抗体,4 ℃孵育过夜;TBST 洗膜 3 次;在 37 ℃孵育抗兔二抗 1 h;TBST 洗膜 3 次;利用 ECL 化学发光试剂盒在凝胶成像系统曝光,采集图片。在 Image J Software 中进行蛋白灰度测定和图片分析,计算 3 次,取平均值,确定目的蛋白

的相对表达量。

1.9 统计学处理

使用 SPSS 22.0 软件进行数据统计。数据以 $\bar{x} \pm s$ 表示。组间比较采用单因素方差分析 (One-way ANOVA), 以 P<0.05 表示差异有统计学 意义。

2 结果

2.1 大鼠血压的比较

给药 0 周,与正常血压组比较,高血压模型 组及氯沙坦组 SHR 大鼠收缩压血压水平明显较 高,说明 SHR 大鼠为高血压模型,差异有统计学 意义(P<0.01); 给药 1~4 周, 与高血压模型组比较, 氯沙坦组 SHR 大鼠血压降低明显,收缩压下降呈 时间依赖性关系,差异有明显统计学意义(P< 0.01)。结果见表 1。

表 1 每组大鼠收缩压的变化($\bar{x} \pm s$, n=8)

Tab. 1 Changes of systolic blood pressure in rats of each group rats($\bar{x} \pm s$, n=8)

时间/周	正常血压组	高血压模型组	氯沙坦组
0	120.3±4.5	$193.4 \pm 5.2^{1)}$	196.5±6.11)
1	123.4±5.3	$191.5 \pm 4.7^{1)}$	$180.5\pm4.7^{2)}$
2	122.8±3.1	$192.7 \pm 5.2^{1)}$	$157.2 \pm 6.2^{2)}$
3	124.5±5.6	194.6±8.71)	$145.9 \pm 5.3^{2)}$
4	125.7±3.1	$195.5\pm7.2^{1)}$	132.6±4.3 ²⁾

注:与正常血压组比较, ¹⁾P<0.01;与高血压模型组比较, ²⁾P<0.01。 Note: Compared with normal blood pressure group, 1)P<0.01; compared with hypertension model group, ${}^{2)}P < 0.01$.

2.2 大鼠血清 Kallikrein、NO 及 PGI₂ 的含量比较 与正常血压组比较,高血压模型组 SHR 大鼠 血清 Kallikrein、NO 和 PGI2 含量明显降低,差异 有统计学意义(P<0.01)。与高血压模型组比较,氯 沙坦组 SHR 大鼠血清 Kallikrein、NO 和 PGI2 含量 显著升高,差异具有明显统计学意义(P<0.01),结 果见表 2。

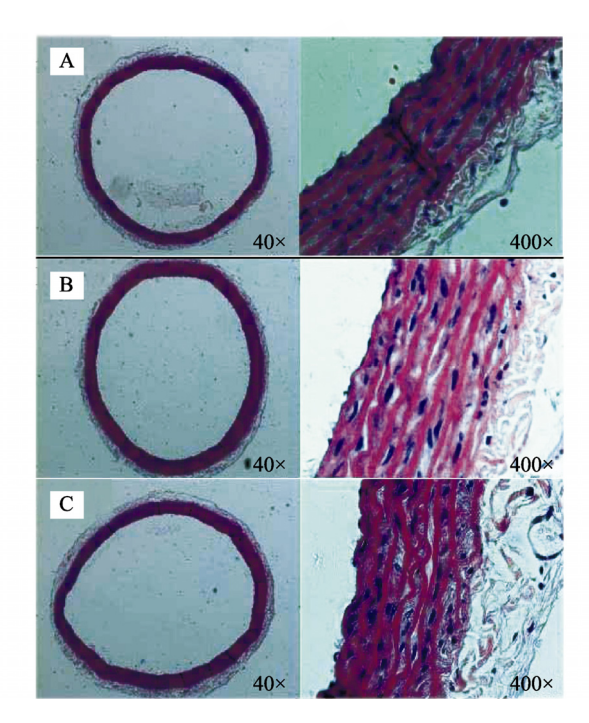
表 2 大鼠血清 Kallikrein, NO 和 PGI₂ 含量的变化($\bar{x} \pm s$,

Tab. 2 Changes of Kallikrein, NO and PGI₂ concentration $(\overline{x} \pm s, n=8)$

组别	Kallikrein/ ng·mL ⁻¹	NO/ μmol·L ⁻¹	$PGI_2/$ $mmol \cdot L^{-1}$
正常血压组	3.8±0.2	155.0±5.4	1.05±0.17
高血压模型组	$2.4\pm0.6^{1)}$	$99.6\pm7.9^{1)}$	$0.65 \pm 0.27^{1)}$
氯沙坦组	$3.7\pm0.3^{2)}$	148.4 ± 6.8^{2}	$0.97 \pm 0.13^{2)}$

注:与正常血压组比较, ¹⁾P<0.01;与高血压模型组比较, ²⁾P<0.01。 Note: Compared with normal blood pressure group, 1)P<0.01; compared with hypertension model group, ${}^{2)}P<\hat{0.01}$.

光镜下肉眼观察,正常血压组血管环大小正 常、管腔内外径比值适中,正常组织血管内皮细 胞 (endothelial cells, ECs)、血管平滑肌细胞 (vascular smooth muscle cells, VSMCs)以及细胞间 质结构清晰完整,形态正常;高血压模型组 SHR 大鼠血管环大小异常、血管壁增厚、管腔内外径 比值减小,血管组织中 ECs 稀少、VSMCs 异常增 大以及细胞间质大量增多;与高血压模型组比 较, 氯沙坦组血管环管径大小适中、管腔内外径 比值减小明显减轻、血管壁增厚明显减轻, 差异 具有明显统计学意义(P<0.01),结果见图 1。



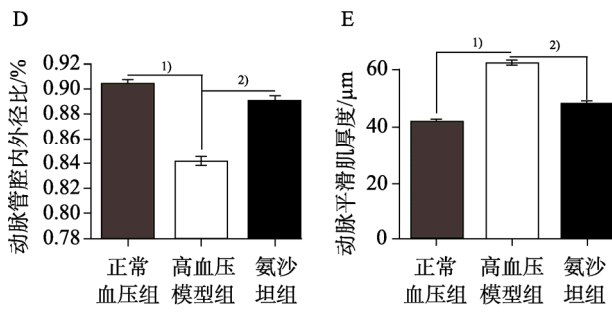


图 1 大鼠主动脉组织病理变化(HE, $\bar{x} \pm s$, n=8) A-正常血压组; B-高血压模型组; C-氯沙坦组; D-动脉管腔内外径比; E-动脉平滑肌厚度;与正常血压组比较,1)P<0.01;与高血压模型组比 较, ²⁾P<0.01。

Fig. 1 Pathological histology of rat aorta(HE, $\bar{x} \pm s$, n=8) A-normal blood pressure group; B-hypertension model group; C-losartan group; D-ratio of lumen/outer diameter; E-aorta VSMCs thickness; compared with normal blood pressure group, ¹⁾P<0.01; compared with hypertension model group, ${}^{2)}P < 0.01$.

^{2.3} 大鼠血管组织病理学改变

2.4 大鼠血管组织中 Kallikrein 基因的表达

与正常血压组比较,高血压模型组 Kallikrein mRNA 相对表达量显著降低(*P*<0.01);与高血压模型组比较,氯沙坦组 Kallikrein 基因表达量显著性增高(*P*<0.01),结果见表 3,提示氯沙坦可上调血管组织中 Kallikrein 功能基因的表达。

表 3 大鼠主动脉功能 Kallikrein 基因表达变化($\overline{x}\pm s$, n=8) **Tab. 3** Kallikrein gene expressive changes of a related to function ($\overline{x}\pm s$, n=8)

组别	Kallikrein mRNA 相对表达量
正常血压组	1.00 ± 0.08
高血压模型组	$0.51 \pm 0.03^{1)}$
氯沙坦组	$0.85 \pm 0.07^{2)}$

注:与正常血压组比较, ¹⁾P<0.01;与高血压模型组比较, ²⁾P<0.01。 Note: Compared with normal blood pressure group, ¹⁾P<0.01; compared with hypertension model group, ²⁾P<0.01.

2.5 大鼠主动脉组织中 Kallikrein 蛋白的表达

与正常血压组比较,高血压模型组 Kallikrein 蛋白的相对表达量显著降低(*P*<0.01)。与高血压模型组比较,氯沙坦组 Kallikrein 蛋白的相对表达量显著升高(*P*<0.01),结果见图 2。

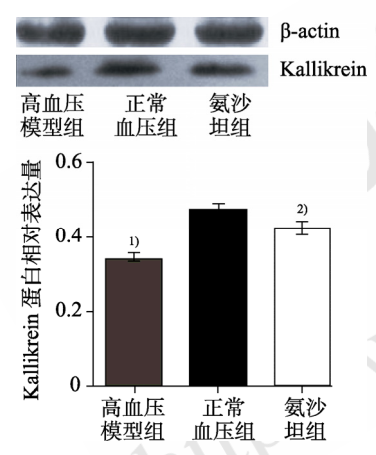


图 2 大鼠主动脉功能 Kallikrein 蛋白表达变化($\bar{x} \pm s$, n=8) 与正常血压组比较, $^{1}P<0.01$; 与高血压模型组比较, $^{2}P<0.01$ 。

Fig. 2 Kallikrein protein relative expression of aorta($\overline{x} \pm s$, n=8)

Compared with normal blood pressure group, $^{1)}P<0.01$; compared with hypertension model group, $^{2)}P<0.01$.

3 讨论

高血压患者动脉壁增厚是微动脉和主动脉病变常见的结构特征之一。长期持续升高的血压改变了动脉壁的形态和特性,这些改变直接能影响动脉的基本机能;尤其是引起的血管重构,包括了 VSMCs 的增殖、迁移、肥大,血管顺应性降低以及血管腔狭窄^[8]。研究发现,KKS 是血压调节

的主要内分泌系统之一,对维持正常血压水平和血管功能起着至关重要的作用^[1-4],尤其在Kallikrein基因、蛋白表达以及血清中含量相对不足的SHR大鼠体内^[3-9]。在心脑血管疾病中,KKS调节着血管平滑肌活性、调控和维持着正常血压以及逆转血管重构^[8-10];此外,无论是组织还是血清中Kallikrein的缺失都会引起血压升高^[3]。

大量研究发现, 利血平、肼苯达嗪、胍乙啶、 氢氯噻嗪、β受体阻断剂等,仅能降低血压,并不 能逆转或者改善血管肥厚(血管重构)现象; 而 AT-1 受体阻断剂和钙通道阻滞剂药物除了很好地降低 血压外,还能够改善或者逆转血管重构现象,钙 通道阻滯剂的这种现象大多是通过调节平滑肌细 胞中钙网蛋白、caspase-12 等的表达[11]。AT-1 受 体阻断剂氯沙坦能够治疗原发性高血压已被临床 和动物研究证实, 现已广泛用于高血压等心脑血 管疾病的治疗。研究发现, 氯沙坦能够降低血压、 改善或者逆转血管重构可能涉及到的 NOX/ VPO1、PRCP、p22phox、GCIP-27 等分子信号通 路[12-15]。本实验中,同样证实氯沙坦能够显著降 低 SHR 大鼠收缩压,同时,发现高血压模型组大 鼠较正常血压组动脉壁呈现增厚及管腔狭窄;而 氯沙坦组能够显著降低 SHR 大鼠动脉壁增厚及管 腔狭窄。KKS 与血管重构现象之间存在重要的联 系, Kallikrein 的缺失能够促进了血管重构的发生 与发展。大量研究证实, 无论是血清中还是组织 中 Kallikrein 过表达都能够降低 SHR 大鼠动脉厚 度及管腔狭窄[5-7]。在本实验中却发现氯沙坦能够 显著增加血清中 Kallikrein 含量以及上调 SHR 大鼠 动脉中 Kallikrein 基因与蛋白表达,同时,由 Kallikrein 引起的下游血管活性产物 NO、PGI₂ 含量均显著增加。这些活性产物的增加同样对血 压的降低、血管重构的改善或逆转具有积极促进 作用。

综上所述,本研究观察了 AT-1 受体阻断剂氯沙坦对 SHR 大鼠血管组织 Kallikrein 表达情况,结果显示氯沙坦能够降低 SHR 大鼠血压和改善血管重构相关指标,很可能与上调 Kallikrein 表达介导的 KKS 分子信号途径有关。氯沙坦能够阻断血管紧张素Ⅱ受体,使血管紧张素Ⅱ不能够结合到其相应的受体上发挥血管收缩作用,达到降低血压作用;同时,氯沙坦作用到血管紧张素Ⅱ受体上,可能直接或间接激活局部血管组织中的

Kallikrein 介导的 KKS 系统,因此,该作用不仅仅是源于氯沙坦的降压作用,还可能是血管局部组织肾素-血管紧张素-醛固酮系统(renin-angiotensinaldosterone system, RAAS)抑制、KKS 激活的双重影响。在心血管疾病中,KKS 和 RAAS 这两大平衡系统相互交叉,KKS 的升高则会抑制 RAAS 的升高。AT-1 受体阻断剂氯沙坦直接抑制了 RAAS 过表达,直接或间接促进激活了 KKS 过表达,这一点不容忽视,有待于进一步研究。

REFERENCES

- [1] LEZAMA-MARTINEZ D, FLORES-MONROY J, FONSECA-CORONADO S, et al. Combined antihypertensive therapies that increase expression of cardioprotective biomarkers associated with the renin-angiotensin and kallikrein-kinin systems [J]. J Cardiovasc Pharmacol, 2018, 72(6): 291-295.
- [2] MADEDDU P, EMANUELI C, EL-DAHR S. Mechanisms of disease: The tissue kallikrein-kinin system in hypertension and vascular remodeling [J]. Nat Clin Pract Nephrol, 2007, 3(4): 208-221
- [3] SILTARI A, ROIVANEN J, KORPELA R, et al. Long-term feeding with bioactive tripeptides in aged hypertensive and normotensive rats: Special focus on blood pressure and bradykinin-induced vascular reactivity [J]. J Physiol Pharmacol, 2017, 68(3): 407-418.
- [4] GRIOL-CHARHBILI V, SABBAH L, COLUCCI J, et al. Tissue kallikrein deficiency and renovascular hypertension in the mouse [J]. Am J Physiol Regul Integr Comp Physiol, 2009, 296(5): 1385-1391.
- [5] CARRETERO O A. Vascular remodeling and the kallikreinkinin system [J]. J Clin Invest, 2005, 115(3): 588-591.
- [6] YANG X, ORGAH J, WANG D, et al. Danhong injection

- reduces vascular remodeling and up-regulates the Kallikrein-
- kinin system in spontaneously hypertensive rats [J]. Sci Rep, 2017, 7(1): 4308. Doi: 10.1038/s41598-017-04661-1.
- [7] ZHANG L, YANG X H. Vasodilative effect of Danhong injection long-term treatment in rats [J]. Chin J Mod Appl Pharm(中国现代应用药学), 2019, 36(3): 303-306.
- [8] RIZZONI D, CASTELLANO M, PORTERI E, et al. Vascular structural and functional alterations before and after the development of hypertension in SHR [J]. Am J Hypertens, 1994, 7(2): 193-200.
- [9] POTIER L, WAECKEL L, RICHER C, et al. Tissue kallikrein, blood pressure regulation, and hypertension: Insight from genetic kallikrein deficiency [J]. Biol Chem, 2013, 394(3): 329-333.
- [10] RHALEB N E, YANG X P, NANBA M, et al. Effect of chronic blockade of the kallikrein-kinin system on the development of hypertension in rats [J]. Hypertension, 2001, 37(1): 121-128.
- [11] 韩启德,文允镒. 血管生物学[M]. 北京: 北京医科大学、中国协和医科大学联合出版社,1997.
- [12] 杨丽珍. SHR 大鼠心血管重构中 VPO1 表达变化及氯沙坦的干预作用[D]. 湖南:中南大学, 2013.
- [13] LIXH, QINYF, CHENG, YANGXQ, QINXP. Inhibitory effect of losartan mediated by prolyl carboxypeptidase on vascular remodeling in hypertensive rats [J]. China Pharm(中国药房), 2013, 24(13): 1168-1171.
- [14] LI F X, SHI R Z, LIAO M C et al. Losartan attenuates aortic remodeling in spontaneously hypertensive rats and its mechanism [J]. J Central South Univ(Med Sci)(中南大学学报: 医学版), 2010, 35(8): 807-813.
- [15] 程轶群. G蛋白抑制肽 GCIP-27 对自发性高血压大鼠主动脉 重构和血压的影响及机制研究[D]. 重庆: 第三军医大学, 2007.

收稿日期: 2019-09-10 (本文责编: 沈倩)